

Algorithmen und Datenstrukturen (für ET/IT)

Wintersemester 2012/13

Dr. Tobias Lasser

Computer Aided Medical Procedures
Technische Universität München



Notizen

Programm heute

7 Fortgeschrittene Datenstrukturen

8 Such-Algorithmen

9 Graph-Algorithmen

Tiefensuche

Breitensuche

Kürzeste Pfade

Minimaler Spannbaum

10 Numerische Algorithmen

Matrizen

Notizen

Algorithmus: Dijkstra

Input: Graph $G = (V, E)$, $w : E \rightarrow \mathbb{R}^+$, Startknoten $s \in V$

Output: Vorgänger-Liste $pred$, Distanz-Markierung d

Dijkstra(G, w, s):

```
for each (Knoten  $v \in V$ ) { // Initialisierung
     $pred[v] = \text{NULL}$ ;  $d[v] = \infty$ ;
}
 $d[s] = 0$ ;
Q = Priority Queue mit Elementen  $V$ , Schlüsseln  $d$ ;
while ( !Q.isEmpty() ) { // Hauptschleife
     $u = Q.extractMin()$ ;
    for each ( $v \in adj[u]$  mit  $v \in Q$ ) {
        if ( $d[u] + w(u, v) < d[v]$ ) {
             $pred[v] = u$ ;  $d[v] = d[u] + w(u, v)$ ;
            Q.decreaseKey( $v, d[v]$ );
        }
    }
}
```

Notizen

5

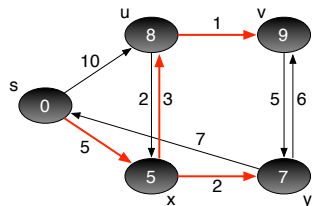
Dijkstra-Algorithmus

Nach Ausführung von **Dijkstra**(G, w, s) gilt für $v \in V$:

- $d[v] =$ Gewicht $w_{min}(v, s)$ des kürzesten Pfades von v zu s
- $pred[v] =$ Vorgängerknoten
- Kürzester Pfad von v zu s :

$pred[v], pred[pred[v]], \dots, s$

Beispiel:



Notizen

6

Dijkstra: Korrektheit

(nur Beweisidee, dies ist kein formaler Beweis!)

Annahme: bisherige Iterationen waren korrekt, bisher bearbeitete Knoten: $X \subset V$

- nächster Iterationsschritt nimmt kürzeste direkte Verbindung von Knoten $x \in X$ zu noch nicht bearbeitetem Knoten $y \in V \setminus X$ hinzu
- $d[y]$ ist nun $d[x] + w(x, y)$
- jeder andere Pfad zu y hat entweder
 - eine Kante, die aus X heraus geht und ist damit nicht kürzer als (x, y)
 - mehrere Kanten, und ist damit nicht kürzer als $d[y]$, da die Kanten positives Gewicht haben

Entscheidende Annahme: Kanten haben positives Gewicht!

Notizen

9

Dijkstra: Anwendungen

Dijkstra ist einer der am häufigsten verwendete Graph-Algorithmen

Beispiele:

- Routenplanung in GIS (Geographic Information System)
 - Navigationssystem im Auto
 - Maps Applikation (Google, Bing, Apple etc.)
 - Routen mit Flugzeugen, Bahn usw.
- Routing Protokolle für IP Netzwerke
 - z.B. Open Shortest Path First
- Pfadplanung von Robotern, UAV/Dronen, etc.
- Segmentierung von medizinischen Bilddaten

Notizen

10

Programm heute

7 Fortgeschrittene Datenstrukturen

8 Such-Algorithmen

9 Graph-Algorithmen

- Tiefensuche
- Breitensuche
- Kürzeste Pfade
- Minimaler Spannbaum

10 Numerische Algorithmen

Matrizen

Notizen

Minimaler Spannbaum

Sei $G = (V, E)$ zusammenhängender Graph mit Gewichtsfunktion $w : E \rightarrow \mathbb{R}$.

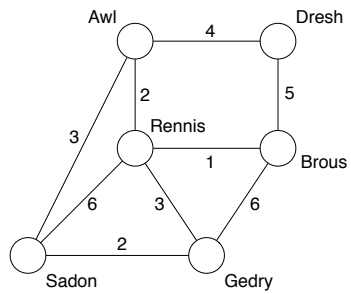
- **Spannbaum:** Teilgraph $G' = (V, E')$, der ein Baum ist und alle Knoten von G enthält.
- **minimaler Spannbaum:** Spannbaum G' mit minimalem Gewicht

$$w_{G'} = \sum_{(x,y) \in E'} w(x,y)$$

Notizen

Minimaler Spannbaum: Beispiel

Beispiel: 6 (virtuelle) Städte und Kosten für Strassenbau dazwischen (in Million Euro):



Problem: Strassenbau mit minimalen Kosten, so daß alle Städte verbunden sind (direkt oder über andere Städte)

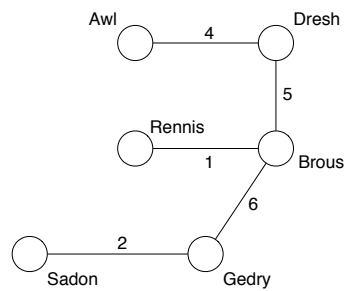
Lösung: minimaler Spannbaum

Notizen

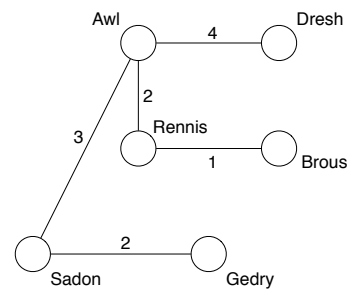
13

Minimaler Spannbaum: Beispiel 2

Mögliche Lösungen:



Gewicht: 18



Gewicht: 12

Notizen

14

Minimaler Spannbaum: Algorithmen

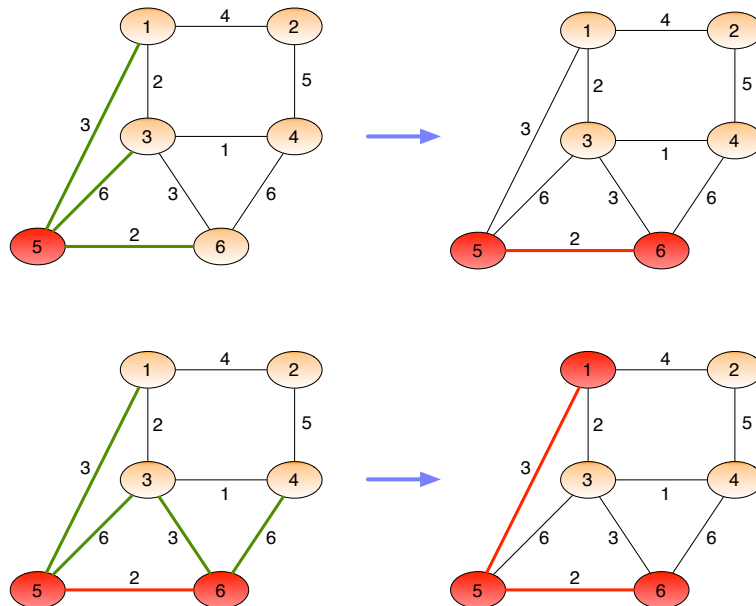
Sei $G = (V, E)$ zusammenhängender Graph mit Gewichtsfunktion $w : E \rightarrow \mathbb{R}$.

- Minimaler Spannbaum von G :
 - Algorithmus von Kruskal: Greedy-Algorithmus
Komplexität: $O(|E| \log |V|)$
 - Algorithmus von Prim: Greedy-Algorithmus
Komplexität: $O(|E| \log |V|)$
 - viele Varianten davon als parallele Algorithmen

Notizen

15

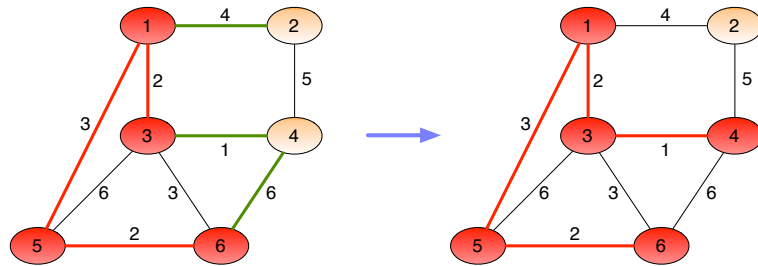
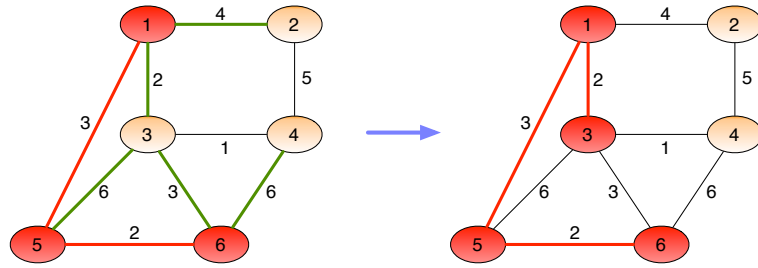
Beispiel-Ablauf: Prim Algorithmus 1



Notizen

16

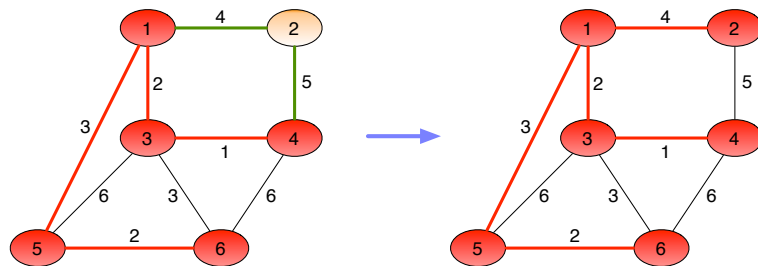
Beispiel-Ablauf: Prim Algorithmus 2



Notizen

17

Beispiel-Ablauf: Prim Algorithmus 3



Notizen

Beobachtungen:

- Zwischenlösungen von Prim Algorithmus sind Bäume
- es werden öfters mehrere Kanten zum selben Knoten betrachtet (s. oben)
 - Vereinfachung: betrachte nur Kante mit minimalem Gewicht

18

Prim Algorithmus

Sei $G = (V, E)$ zusammenhängender Graph mit Gewichtsfunktion $w : E \rightarrow \mathbb{R}$.

- Startknoten $s \in V$ für minimalen Spannbaum
- Graph repräsentiert als Adjazenzliste adj
- jeder Knoten (ausser s) hat Vorgänger im Spannbaum $pred$
- jeder Knoten hat Markierung g
 - kleinstes Gewicht um Knoten mit aktuellem Spannbaum zu verbinden
- Hilfsmittel: Priority Queue Q

Notizen

19

Algorithmus: Prim

Input: Graph $G = (V, E)$, $w : E \rightarrow \mathbb{R}$, Startknoten $s \in V$

Output: Vorgänger-Liste $pred$

Prim(G, w, s):

```
for each (Knoten  $v \in V$ ) { // Initialisierung
```

```
     $pred[v] = \text{NULL}; g[v] = \infty;$ 
```

```
}
```

```
 $g[s] = 0;$ 
```

```
 $Q =$  Priority Queue mit Elementen  $V$ , Schlüssel  $g$ ;
```

```
while ( ! $Q.is\text{Empty}()$  ) { // Hauptschleife
```

```
     $u = Q.extractMin();$ 
```

```
    for each ( $v \in adj[u]$  mit  $v \in Q$ ) {
```

```
        if ( $w(u, v) < g[v]$ ) {
```

```
             $pred[v] = u; g[v] = w(u, v);$ 
```

```
             $Q.decreaseKey(v, g[v]);$ 
```

```
        }
```

```
    }
```

```
}
```

Notizen

20

Prim: Komplexität

- Komplexitätsanalyse von Prim fast identisch mit Dijkstra!
- Komplexität des Algorithmus von Prim hängt entscheidend von der Implementierung der Priority Queue ab!
- Varianten:
 - als verkettete Liste: $O(|V|^2)$
 - als binärer Heap: $O(|E| \log |V|)$
 - als Fibonacci Heap: $O(|E| + |V| \log |V|)$

Notizen

25

Prim: Anwendungen

- Planung von Netzwerken
 - Strassennetz
 - Kommunikations-Netzwerk
 - elektronische Schaltungen
- Clustering von Daten
 - Daten als Knoten, "Nähe" als Kanten, entferne "lange" Kanten aus minimalem Spannbaum → Clustering
- Extrahieren/Tracking von Objekten aus Bildern in Computer Vision

Notizen

26

Ausblick: Graphen-Algorithmen

- **Fluss in Graphen:** statt Kantengewichten gibt es Kapazitäten, betrachtet wird Fluss von Quelle zu Senke
 - Problem: finde maximalen Fluss
 - Anwendung: z.B. Fluss in Kommunikations-Netzwerken
- **Einfärben von Graphen:** Färbe Knoten von Graph so ein, dass keine benachbarten Knoten diesselbe Farbe haben
 - Anwendungen: z.B. Scheduling, Sudoku
- **Planare Graphen:** lässt sich Graph ohne Kanten-Überschneidung zeichnen?
 - Anwendung: z.B. Chip- bzw. Platinen-Design
- **Klassifikation von medizinischen Daten:** über analytische Operationen auf Adjazenzmatrix, z.B. Laplace-Operator
 - Anwendungen: z.B. Identifikation von Melanomen, Tracking von Endoskopen

Notizen

27

Programm heute

- ⑦ Fortgeschrittene Datenstrukturen
- ⑧ Such-Algorithmen
- ⑨ Graph-Algorithmen
 - Tiefensuche
 - Breitensuche
 - Kürzeste Pfade
 - Minimaler Spannbaum
- ⑩ Numerische Algorithmen
 - Matrizen

Notizen

28

What is the matrix?

Was ist eine Matrix?

- Anordnung von Zahlen $(a_{ij}) \subset \mathbb{R}$ in einem $m \times n$ Muster:

$$\begin{pmatrix} a_{11} & \cdots & a_{1n} \\ \vdots & \ddots & \vdots \\ a_{m1} & \cdots & a_{mn} \end{pmatrix} =: A$$

- Element des Vektorraumes $\mathbb{R}^{m \times n}$

$$A \in \mathbb{R}^{m \times n}$$

- Lineare Abbildung $f : \mathbb{R}^n \rightarrow \mathbb{R}^m$ mit

$$f(x) = Ax$$

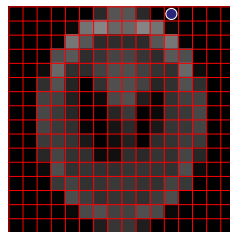
wobei A $m \times n$ Matrix.

Notizen

29

Beispiel: Anwendung von Matrizen

- Adjazenzmatrix von Graphen
 - effizienter als Adjazenzlisten für dichte Graphen (viele Kanten)
 - erlaubt analytische Operationen wie Laplace-Operator/Eigenwerte
- Bilder im Computer: gespeichert als Matrix



Notizen

30

Speicherung von Matrizen

Speicherung als sequentielle Liste / Array:

- **row-major:** Zeilen werden zuerst durchlaufen

$$\begin{pmatrix} a_{11} & a_{12} & a_{13} \\ a_{21} & a_{22} & a_{23} \\ a_{31} & a_{32} & a_{33} \end{pmatrix} \Rightarrow [a_{11}, a_{12}, a_{13}, a_{21}, a_{22}, a_{23}, a_{31}, a_{32}, a_{33}]$$

- **column-major:** Spalten werden zuerst durchlaufen

$$\begin{pmatrix} a_{11} & a_{12} & a_{13} \\ a_{21} & a_{22} & a_{23} \\ a_{31} & a_{32} & a_{33} \end{pmatrix} \Rightarrow [a_{11}, a_{21}, a_{31}, a_{12}, a_{22}, a_{32}, a_{13}, a_{23}, a_{33}]$$

Notizen

31

Matrix-Operationen

Seien $A, B \in \mathbb{R}^{m \times n}$ mit $A = (a_{ji})$, $B = (b_{ji})$ und $\lambda \in \mathbb{R}$.

- **Addition:**

$$A + B = \begin{pmatrix} a_{11} + b_{11} & \cdots & a_{1n} + b_{1n} \\ \vdots & \ddots & \vdots \\ a_{m1} + b_{m1} & \cdots & a_{mn} + b_{mn} \end{pmatrix}$$

- **Skalarmultiplikation:**

$$\lambda A = \begin{pmatrix} \lambda a_{11} & \cdots & \lambda a_{1n} \\ \vdots & \ddots & \vdots \\ \lambda a_{m1} & \cdots & \lambda a_{mn} \end{pmatrix}$$

Notizen

32

Matrix-Operationen (Fortsetzung)

Seien $A = (a_{ji}) \in \mathbb{R}^{m \times n}$, $x = (x_i) \in \mathbb{R}^n$ und $B = (b_{ji}) \in \mathbb{R}^{n \times r}$.

- Matrix-Vektor-Multiplikation:

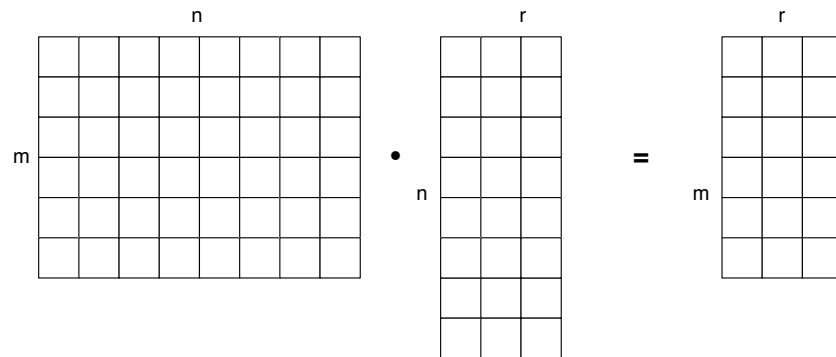
$$A \cdot x = \begin{pmatrix} a_{11}x_1 + \dots + a_{1n}x_n \\ \vdots \\ a_{m1}x_1 + \dots + a_{mn}x_n \end{pmatrix}$$

- Matrix-Matrix-Multiplikation:

$$A \cdot B = \begin{pmatrix} a_{11}b_{11} + \dots + a_{1n}b_{n1} & \dots & a_{11}b_{1r} + \dots + a_{1n}b_{nr} \\ \vdots & \ddots & \vdots \\ a_{m1}b_{11} + \dots + a_{mn}b_{n1} & \dots & a_{m1}b_{1r} + \dots + a_{mn}b_{nr} \end{pmatrix}$$

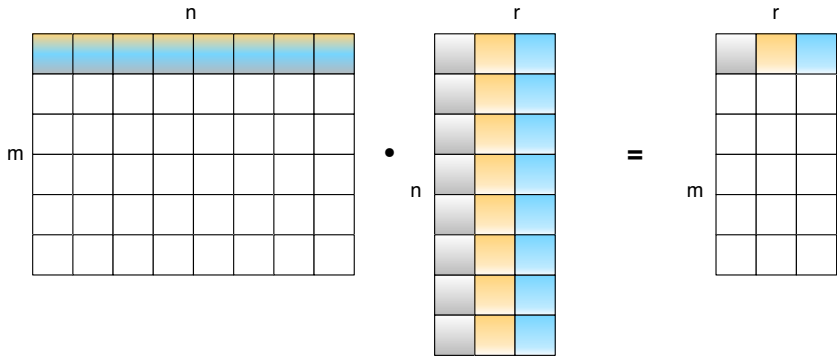
Notizen

Matrix-Multiplikation



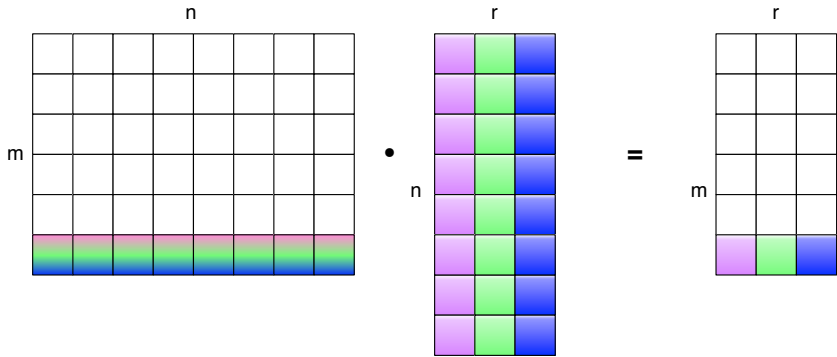
Notizen

Matrix-Multiplikation 2



Notizen

Matrix-Multiplikation 3



Notizen

Matrix-Multiplikation: Komplexität

Seien $A = (a_{ji}) \in \mathbb{R}^{n \times n}$ und $B = (b_{ji}) \in \mathbb{R}^{n \times n}$ (quadratisch).

$$A \cdot B = \begin{pmatrix} a_{11}b_{11} + \dots + a_{1n}b_{n1} & \dots & a_{11}b_{1n} + \dots + a_{1n}b_{nn} \\ \vdots & \ddots & \vdots \\ a_{n1}b_{11} + \dots + a_{nn}b_{n1} & \dots & a_{n1}b_{1n} + \dots + a_{nn}b_{nn} \end{pmatrix}$$

Komplexität:

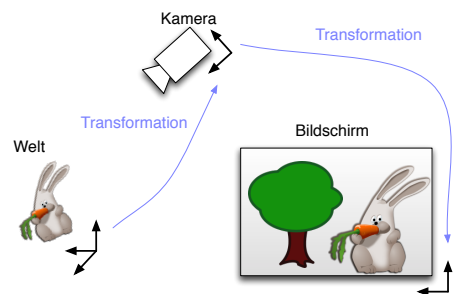
- pro Eintrag: n Additionen, n Multiplikationen
- insgesamt n^2 Einträge
- $A \cdot B$ also n^3 Additionen und n^3 Multiplikationen
- Komplexität: $\Theta(n^3)$ arithmetische Operationen

Notizen

Beispiel: Anwendung von Matrix-Multiplikation

- Wechsel von Koordinaten-Systemen können als Matrix-Vektor-Multiplikation dargestellt werden
 - Matrix heisst hier auch **Transformation**
- mehrere Wechsel hintereinander können mittels Matrix-Matrix-Multiplikation zu einer Transformation zusammengefasst werden

Beispiel: Augmented Reality



Notizen

Augmented Reality Demo

Notizen

39

Matrix-Multiplikation: Strassen-Algorithmus

Seien $A, B \in \mathbb{R}^{n \times n}$ mit n 2er-Potenz ($n = 2^k$), $n > 1$.

- Divide & Conquer Ansatz zur Matrizen-Multiplikation
- A, B aufteilen in vier $n/2 \times n/2$ Matrizen:

$$A = \begin{pmatrix} \mathbf{a}_{11} & \mathbf{a}_{12} \\ \mathbf{a}_{21} & \mathbf{a}_{22} \end{pmatrix}, \quad B = \begin{pmatrix} \mathbf{b}_{11} & \mathbf{b}_{12} \\ \mathbf{b}_{21} & \mathbf{b}_{22} \end{pmatrix}$$

- Produkt $A \cdot B$ berechnen als:

$$A \cdot B = \begin{pmatrix} \mathbf{a}_{11}\mathbf{b}_{11} + \mathbf{a}_{12}\mathbf{b}_{21} & \mathbf{a}_{11}\mathbf{b}_{12} + \mathbf{a}_{12}\mathbf{b}_{22} \\ \mathbf{a}_{21}\mathbf{b}_{11} + \mathbf{a}_{22}\mathbf{b}_{21} & \mathbf{a}_{21}\mathbf{b}_{12} + \mathbf{a}_{22}\mathbf{b}_{22} \end{pmatrix}$$

- $\mathbf{a}_{ik}\mathbf{b}_{kj}$ ist selbst Matrix-Matrix-Produkt
- rekursiv aufteilen bis 1×1 Produkt
- Komplexität: immer noch $\Theta(n^3)$

Notizen

40

Strassen-Algorithmus

- Berechne:

$$\mathbf{q}_1 = (\mathbf{a}_{11} + \mathbf{a}_{22}) \cdot (\mathbf{b}_{11} + \mathbf{b}_{22})$$

$$\mathbf{q}_2 = (\mathbf{a}_{21} + \mathbf{a}_{22}) \cdot \mathbf{b}_{11}$$

$$\mathbf{q}_3 = \mathbf{a}_{11} \cdot (\mathbf{b}_{12} - \mathbf{b}_{22})$$

$$\mathbf{q}_4 = \mathbf{a}_{22} \cdot (\mathbf{b}_{21} - \mathbf{b}_{11})$$

$$\mathbf{q}_5 = (\mathbf{a}_{11} + \mathbf{a}_{12}) \cdot \mathbf{b}_{22}$$

$$\mathbf{q}_6 = (\mathbf{a}_{21} - \mathbf{a}_{11}) \cdot (\mathbf{b}_{11} + \mathbf{b}_{12})$$

$$\mathbf{q}_7 = (\mathbf{a}_{12} - \mathbf{a}_{22}) \cdot (\mathbf{b}_{21} + \mathbf{b}_{22})$$

- Dann ist:

$$A \cdot B = \begin{pmatrix} \mathbf{q}_1 + \mathbf{q}_4 - \mathbf{q}_5 + \mathbf{q}_7 & \mathbf{q}_3 + \mathbf{q}_5 \\ \mathbf{q}_2 + \mathbf{q}_4 & \mathbf{q}_1 + \mathbf{q}_3 - \mathbf{q}_2 + \mathbf{q}_6 \end{pmatrix}$$

- Komplexität: $\Theta(n^{\lg 7}) = \Theta(n^{2.807})$

Notizen

41

Matrix-Matrix-Multiplikation

Seien $A, B \in \mathbb{R}^{n \times n}$.

- naiver Algorithmus: $\Theta(n^3)$
- Strassen-Algorithmus (1969): $\Theta(n^{2.807})$
 - weniger numerisch stabil als naiver Algorithmus
 - n muss 2er-Potenz sein
 - benötigt deutlich mehr Speicher als naiver Algorithmus
- Coppersmith-Winograd Algorithmus (1987): $O(n^{2.376})$
 - erst praktikabel für Größen, die mit heutigen Computern nicht bearbeitet werden können
 - es existieren verbesserte Varianten (2011) mit $O(n^{2.3727})$

Notizen

42

